

苏云金芽孢杆菌发酵上清中增效物质生成的相关研究

陈振民^{1,2} 李 青² 刘华梅² 谢天键² 曹军卫^{1*}

(武汉大学生命科学院 武汉 430072)¹ (武汉科诺生物农药有限公司 武汉 430074)²

摘要: 利用 BIOSTAT[®]-CL15L 全自动发酵罐和 2.0 t 不锈钢发酵罐, 对苏云金芽孢杆菌不同菌株 (GC-91, MP342, HD-1) 发酵上清液中增效物质的生成进行了研究, 发现增效物质于对数生长期前期开始产生并积累, 至对数生长期末期达到高峰, 并保持稳定; 不同菌株的发酵上清中增效物质生成量不同, 其中 GC-91 最强 (增效倍数 $f = 6.0$), MP342 次之 ($f = 3.7$), HD-1 最弱 ($f = 1.5$); GC-91 菌株上清液中增效物质生成曲线与晶体含量, 效价代谢曲线相似, 说明三者之间有显著的正相关。溶氧对 GC-91 上清增效物质生成有明显影响, 供氧充足, 增效物质合成量较高 ($f = 6$), 供氧不足合成量较低 ($f = 4$)。

关键词: 苏云金芽孢杆菌, 上清液增效物质, 生成

中图分类号: S476.11 **文献标识码:** A **文章编号:** 0253-2654 (2004) 01-0022-04

STUDY ON THE GROWTH OF SYNERGIER IN THE SUPERNATANT OF *BACILLUS THURINGIENSIS*

CHEN Zhen-Min^{1,2} LI Qing² LIU Hua-Mei² XIE Tian-Jian² CAO Jun-Wei¹

(College of Life Sciences, Wuhan University, Wuhan 430072)¹

(Wuhan kernel biopesticide company, Wuhan 430074)²

Abstract: The growth curves of synergier in the supernatant from strains of *Bacillus thuringiensis* GC-91, MP-342 and HD-1 were studied. The results showed that the production and accumulation of synergier began in the beginning of the logarithmic growth phase, and reached the top in the end of the logarithmic growth phase, and kept stable during the stable phase. Synergier in the supernatant from different *Bacillus thuringiensis* strains grew differently, strain GC-91 (whose synergistic fold was 6) grew better than strain MP-342 (whose synergistic fold was 3.4), strain HD-1 grew badly (whose synergistic fold was only 1.8); There was much similarity among the synergistic growth curve, crystal growth curve and bioassay potency curve, which indicated that the relations among synergier, crystal and bioassay potency was remarkably positive correlation. Dissolved oxygen had some degree influence on the synergier growth, abundant provision oxygen was contributed to the synergistic growth.

Key words: *Bacillus thuringiensis*, Synergier in supernatant, Growth

以往的研究认为苏云金芽孢杆菌 (*Bacillus thuringiensis*, 以下简称 *Bt*) 的毒力来源于伴孢晶体和芽孢, 但近 10 年来, 有研究报道 *Bt* 发酵上清液中含有一种分子量为 1,000 D, 结构与抗生素 ZwittermicinA 相似的增效物质, 对 *Bt* 的毒力有着显著影响。大多数苏云金芽孢杆菌亚种能产生这种发酵上清增效物质, 其自身的杀虫活性极低, LC_{50} 高达 3,000 μ g/mL, 但是其能使微生物杀虫活性至少增加 50%, 使杀虫晶体蛋白的杀虫活性增加 1.5~1,000 倍, 且对原毒素和活化毒素都有增效作用。其增效作用包括 3 个方面: (1) 增加与杀虫有关的芽孢杆菌的杀虫活性; (2) 增强化学杀虫剂的杀虫活性;

* 联系人

收稿日期: 2002-12-09, 修回日期: 2003-02-24

(3) 增加具有杀虫性能的病毒的杀虫活性。发酵上清增效物质在增加与杀虫有关的芽孢杆菌的杀虫活性同时，还能降低害虫对芽孢杆菌的抗药性^[1,2]。李青等曾报道了^[3]菌株GC-91发酵上清液有较强增效作用。本文对苏云金芽孢杆菌菌株GC-91, MP-342, HD-1发酵上清液中增效物质的生成与菌体生长的时间进程和溶氧对增效物质生成的影响进行了研究，以期了解上清液增效物质的生成规律，为高效生产这些菌株的增效物质提供最佳条件。

1 材料与方法

1.1 菌种

苏云金芽孢杆菌GC-91引自Ciba-geigy公司，内毒素基因为 $cryIA$ (a), $cryIA$ (c), $cryIC$, $cryID$ ，无 $cryt$ 基因，不产 β -外毒素。HD-1, MP-342菌株为本实验室保存菌种，血清型为三型。

1.2 培养基

豆粕和淀粉为主的生产培养基。

1.3 苏云金芽孢杆菌GC-91孢晶标准品的制备

取生产批号为1995097原粉(1995-07-21生产)，用无菌蒸馏水制成悬液，8,000 r/min离心去上清，补入同体积的水，捣碎均匀，重新离心洗涤4~5次，直至洗涤上清澄清透明为止。沉淀物经50℃~54℃热膨化4~5h, 40℃下冷冻干燥20h，用研钵磨碎，200目过筛，混合均匀，分装棕色小瓶4℃冷藏备用。标定其晶体含量为5μg/mg, LC₅₀为180μg/g。

1.4 发酵和发酵上清液样品制备

2.0 t发酵罐投料1.2 t，采用生产培养基，自发酵3h开始，每2h取发酵液1次；发酵液经8,000 r/min离心10min，镜检上清液中无晶体和芽孢，留取上清液备用。

1.5 发酵液菌数测定

平板稀释计数法。

1.6 溶氧测定

在BIOSTAT®-CL15L全自动发酵罐中，采用INGOLD溶氧电极直接测定培养基中的残留氧(%)。

1.7 pH测定

在BIOSTAT®-CL15L全自动发酵罐中，采用INGOLD pH电极直接测定培养基的pH。

1.8 生物效价测定

准确取一定重量的发酵液在0.9mol/L磷酸缓冲液(pH7.0)中混合均匀，使最高稀释浓度测死亡率为85%~90%，作为生测样品，以初孵棉铃虫(*Helicoverpa armigera*)幼虫为供试虫。将标准品和样品按5个稀释度进行稀释，均匀混于人工配制饲料中，分装24孔塑料盘。挑取孵化后不超过10h且未取食的幼虫，每孔挑入1头，上盖，置于30℃温室内饲养，72h后观察死虫数，计算死亡率和毒力回归方程式，求出样品的LC₅₀和标准品的LC₅₀^[4]，按下式计算样品效价：

$$\text{样品效价} = \frac{\text{标准品效价} \times \text{标准品 } LC_{50}}{\text{样品 } LC_{50}}$$

1.9 增效物质测定

准确取2mL上清样品与一定量的孢晶标准品在0.9mol/L磷酸缓冲液(pH为7.0)中混合均匀，使最高稀释浓度测死亡率为85%~90%，作为生测样品，其余步骤与生物效价测定相同，计算死亡率和毒力回归方程式，求出样品的 LC_{50} 和标准品的 LC_{50} ^[4]，用增效倍数(f)来表示上清中增效物质含量，按下式计算增效倍数：

$$\text{增效倍数 (f)} = \frac{\text{标准品的 } LC_{50}}{\text{样品的 } LC_{50}}$$

1.10 伴孢晶体含量测定

取发酵液样品加入1%溶菌酶，30℃恒温下充分研磨至镜检60%~70%菌体细胞壁破碎，再用超声波处理30s打碎细胞，参照Laemmli(1951)方法^[5]，进行SDS-PAGE凝胶电泳，浓缩胶浓度为4%，分离胶浓度为10%，加入10% SDS，电泳后的聚丙烯酰胺凝胶经过考马斯亮蓝染色后再脱色处理。运用ImageMasterID软件对蛋白质进行定量分析。

2 结果与讨论

2.1 不同菌种发酵上清增效物质生成的时间进程研究

按材料和方法所述，采用生产配方培养，在BIOSTAT[®]-CL15L全自动发酵罐中，分别接种菌株HD-1，MP-342，GC-91。控制溶氧在15%以上^[6]，不同时间测定增效物质增效倍数(f)，以培养时间为横坐标，以增效倍数为纵坐标作图(图1)。其中增效倍数乘以10，增效倍数大于10以上表示上清液开始有增效作用。图1表明不同菌株开始产生上清增效物质的时间和达到最高并保持稳定的时间不同，菌株HD-1，MP-342，GC-91的增效物质分别于3h，9h，11h开始产生，并分别至5h，15h，17h达到最高并保持稳定。分析认为这种现象主要由菌株特性所决定，因为HD-1，MP-342，GC-91进入对数生长期的时间依次较早，导致增效物质产生的时期依次提前。3个菌株达到最高的增效倍数依次为1.8，3.4，6，说明不同菌株上清增效物质的生成能力不同。崔云龙等^[1]报道，HD-1发酵液通过离心分离上清液，用磷酸缓冲液同体积替代上清液，替代后的磷酸缓冲液与离心沉淀混和液对小菜蛾毒力下降27.5%；李青等^[3]报道，GC-91发酵液通过离心分离上清液，用磷酸缓冲液替代上清液，替代后的发酵液对棉铃虫毒力下降70%。本研究也发现菌株GC-91上清液中增效物质的合成代谢明显强于菌株HD-1，因此对菌株GC-91进行了进一步研究。

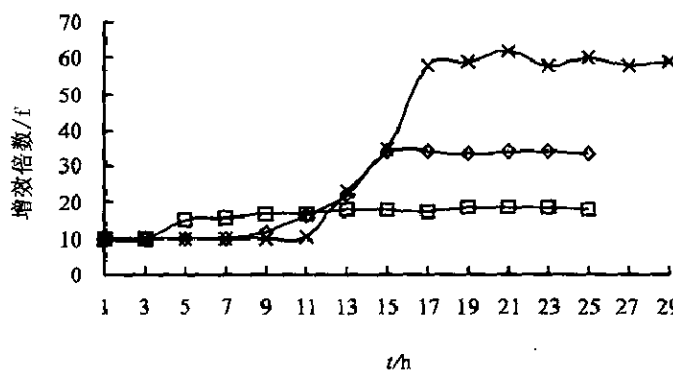


图1 不同菌种上清液中增效物质生成曲线

—*— GC-91 f/10, —◇— MP-342 f/10, —□— HD-1 f/10

2.2 菌株 GC-91 上清增效物质与晶体，效价，菌数的关系

按材料和方法所述，在2.0 t发酵罐中，采用生产配方培养GC-91菌株，控制溶氧在15%以上，不同时间取样，测定上清增效物质含量、晶体含量、生物效价和细菌菌数，以时间为横坐标，以增效倍数含量、晶体含量、生物效价和菌数为纵坐标作图，其中增效倍数和晶体含量分别乘以10, 100，生物效价除以1,000(图2)。图2表明，其增效物质产生于对数生长期前期(约11h)，在对数生长期末期(约17~18h)达到高峰期，并保持稳定，说明增效物质主要在对数期产生。图2还表明，增效物质产生量与晶体含量，效价曲线有相似性，表明三者间有显著的正相关性。

2.3 溶氧对GC-91上清液增效物质生成的影响

据刘华梅等^[6]报道，发酵液中残留氧≥15%为不影响GC-91发酵的最低溶氧，本研究设置对数生长期溶氧为两个不同水平，即DO≥15%以上，和DO<15%。GC-91菌株在不同溶氧条件下增效物质生成曲线见图3，结果表明，DO≥15%以上的增效物质增效倍数约为6，而DO从9~11h溶氧为零，增效物质增效倍数约为4，说明供氧充分有利于增效物质生成，反之则有抑制作用。

通过对GC-91, MP-342, HD-1菌株上清增效物质生成的相关研究，以及研究增效物质的生成与晶体含量，效价，菌数的关系，溶氧对上清增效物质生成的影响，进一步证明上清增效物质是苏云金芽孢杆菌毒力的重要组成部分，并对增效物质生成的最佳条件，提高增效物质的产量，从而提高苏云金芽孢杆菌毒力作了初步研究。对于上清增效物质的性质与结构鉴定，上清增效物质的生产工艺回收和应用，有待进一步研究。

参 考 文 献

- [1] 崔云龙, 冈部宗一, 浅野昌司. 微生物学报, 1993, 33 (1): 62~68.
- [2] Manker, Denise, Carol, et al. potentiator of *Bacillus* pesticidal activity, 1994, PCT /US93/10671. 94-11-05.
- [3] 李青, 吴继星, 谢天键, 等. 中国生物防治, 1997, 13 (4): 166~168.
- [4] 钟连胜, 谢天键, 吴继星, 等. 生物防治通报增刊, 1990, 1~5.
- [5] Laemml Li U K. Nature, 1970, 227~280.
- [6] 刘华梅, 李青, 陈振民, 等. 武汉大学学报(杀虫微生物专刊), 1998, 44: 59~61.

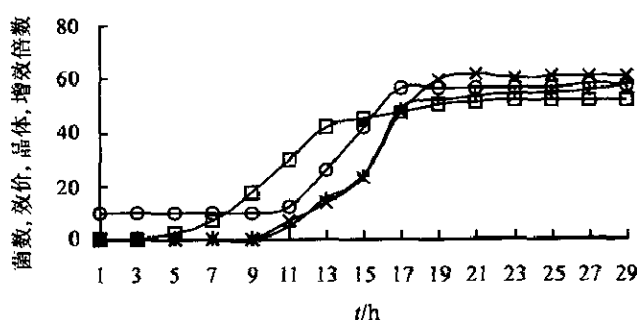


图2 GC-91 增效物质与晶体含量，效价，菌数的关系

—■— 菌数 n亿/g, —○— 增效倍数 f/10,
—+— 晶体含量 (%) /100, —*— 效价 (IU/μL) × 1,000

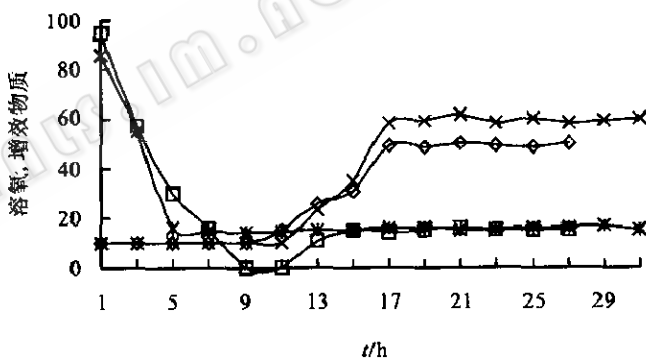


图3 溶氧对GC-91上清液中增效物质产生的影响

—*— DO > > 15, —□— DO < 15, —×— DO > > 15, —◇— f DO < 15